IXYS

		V_{CES}	I_{C25}	$V_{CE(sat)}$
Low $V_{CE(sat)}$	**IXGH/IXGM 25 N100**	**1000 V**	**50 A**	**3.5 V**
High speed IGBT	**IXGH/IXGM 25 N100A**	**1000 V**	**50 A**	**4.0 V**

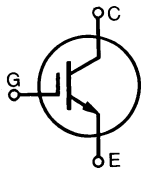

Symbol	Test Conditions	Maximum Ratings	
V_{CES}	T_J = 25°C to 150°C	1000	V
V_{CGR}	T_J = 25°C to 150°C; R_{GE} = 1 MΩ	1000	V
V_{GES}	Continuous	±20	V
V_{GEM}	Transient	±30	V
I_{C25}	T_C = 25°C	50	A
I_{C90}	T_C = 90°C	25	A
I_{CM}	T_C = 25°C, 1 ms	100	A
SSOA (RBSOA)	V_{GE} = 15 V, T_{VJ} = 125°C, R_G = 33 Ω Clamped inductive load, L = 100 µH	I_{CM} = 50 @ 0.8 V_{CES}	A
P_C	T_C = 25°C	200	W
T_J		-55 ... +150	°C
T_{JM}		150	°C
T_{stg}		-55 ... +150	°C
M_d	Mounting torque (M3)	1.13/10	Nm/lb.in.
Weight		TO-204 = 18 g, TO-247 = 6 g	
Maximum lead temperature for soldering 1.6 mm (0.062 in.) from case for 10 s		300	°C

TO-247 AD (IXGH)

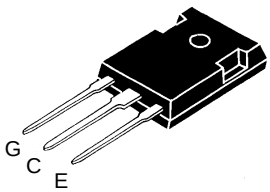

TO-204 AE (IXGM)

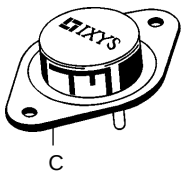

G = Gate, C = Collector,
E = Emitter, TAB = Collector

Symbol	Test Conditions		Characteristic Values (T_J = 25°C, unless otherwise specified) min.	typ.	max.	
BV_{CES}	I_C = 3 mA, V_{GE} = 0 V		1000			V
$V_{GE(th)}$	I_C = 250 µA, V_{CE} = V_{GE}		2.5		5	V
I_{CES}	V_{CE} = 0.8 • V_{CES}	T_J = 25°C			250	µA
	V_{GE} = 0 V	T_J = 125°C			1	mA
I_{GES}	V_{CE} = 0 V, V_{GE} = ±20 V				±100	nA
$V_{CE(sat)}$	I_C = I_{C90}, V_{GE} = 15 V	25N100			3.5	V
		25N100A			4.0	V

Features
- International standard packages
- 2nd generation HDMOS™ process
- Low $V_{CE(sat)}$
  - for low on-state conduction losses
- High current handling capability
- MOS Gate turn-on
  - drive simplicity
- Voltage rating guaranteed at high temperature (125°C)

Applications
- AC motor speed control
- DC servo and robot drives
- DC choppers
- Uninterruptible power supplies (UPS)
- Switch-mode and resonant-mode power supplies

Advantages
- Easy to mount with 1 screw (TO-247) (isolated mounting screw hole)
- High power density

Symbol	Test Conditions		Characteristic Values (T_J = 25°C, unless otherwise specified) min.	typ.	max.	
g_{fs}	$I_C = I_{C90}$; V_{CE} = 10 V, Pulse test, t ≤ 300 µs, duty cycle ≤ 2 %		8	15		S
C_{ies}	V_{CE} = 25 V, V_{GE} = 0 V, f = 1 MHz			2750		pF
C_{oes}				200		pF
C_{res}				50		pF
Q_g	$I_C = I_{C90}$, V_{GE} = 15 V, V_{CE} = 0.5 V_{CES}			130	180	nC
Q_{ge}				25	60	nC
Q_{gc}				55	90	nC
$t_{d(on)}$	**Inductive load, T_J = 25°C**			100		ns
t_{ri}	$I_C = I_{C90}$, V_{GE} = 15 V, L = 300 µH,			200		ns
$t_{d(off)}$	V_{CE} = 0.8 V_{CES}, $R_G = R_{off}$ = 33 Ω			500		ns
t_{fi}	Remarks: Switching times may increase for V_{CE} (Clamp) > 0.8 • V_{CES}, higher T_J or increased R_G	25N100A		500		ns
E_{off}		25N100A		5		mJ
$t_{d(on)}$	**Inductive load, T_J = 125°C**			100		ns
t_{ri}	$I_C = I_{C90}$, V_{GE} = 15 V, L = 300 µH			250		ns
E_{on}	V_{CE} = 0.8 V_{CES}, $R_G = R_{off}$ = 33 Ω			3.5		mJ
$t_{d(off)}$	Remarks: Switching times			720	1000	ns
t_{fi}	may increase for V_{CE} (Clamp) > 0.8 • V_{CES}, higher T_J or increased R_G	25N100		950	3000	ns
		25N100A		800	1500	ns
E_{off}		25N100		10		mJ
		25N100A		8		mJ
R_{thJC}					0.62	K/W
R_{thCK}				0.25		K/W

TO-247 AD Outline

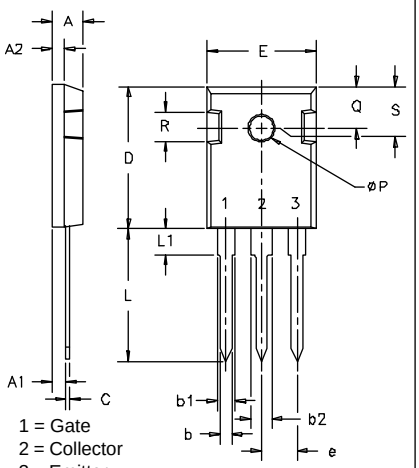

1 = Gate
2 = Collector
3 = Emitter
Tab = Collector

SYM	INCHES MIN	INCHES MAX	MILLIMETERS MIN	MILLIMETERS MAX
A	.185	.209	4.7	5.3
A_1	.087	.102	2.2	2.54
A_2	.059	.098	2.2	2.6
b	.040	.055	1.0	1.4
b_1	.065	.084	1.65	2.13
b_2	.113	.123	2.87	3.12
C	.016	.031	.4	.8
D	.819	.845	20.80	21.46
E	.610	.640	15.75	16.26
e	.215 BSC		5.45 BSC	
L	.780	.800	19.81	20.32
L1		.177		4.50
øP	.140	.144	3.55	3.65
Q	.212	.244	5.4	6.2
R	.170	.216	4.32	5.49
S	.242 BSC		6.15 BSC	

TO-204AE Outline

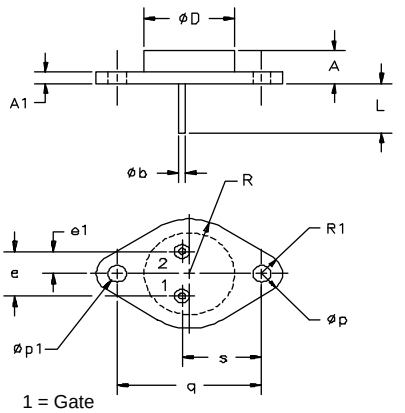

1 = Gate
2 = Emitter
Case = Collector

SYM	INCHES MIN	INCHES MAX	MILLIMETERS MIN	MILLIMETERS MAX
A	.250	.450	6.4	11.4
A1	.060	.135	1.53	3.42
øb	.057	.063	1.45	1.60
øD		.875		22.22
e	.420	.440	10.67	11.17
e1	.205	.225	5.21	5.71
L	.440	.480	11.18	12.19
øp	.151	.165	3.84	4.19
øp1	.151	.165	3.84	4.19
q	1.187 BSC		30.15 BSC	
R	.495	.525	12.58	13.33
R1	.131	.188	3.33	4.77
s	.655	.675	16.64	17.14

Fig. 1 Saturation Characteristics

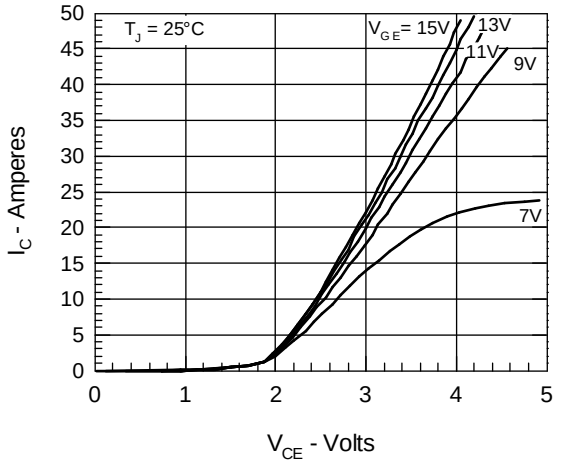

Fig. 2 Output Characterstics

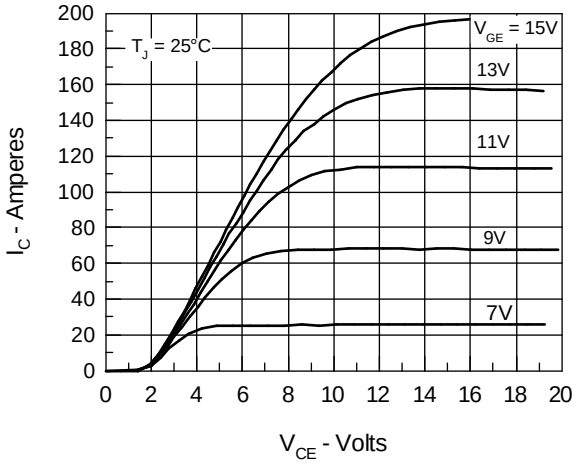

Fig. 3 Collector-Emitter Voltage vs. Gate-Emitter Voltage

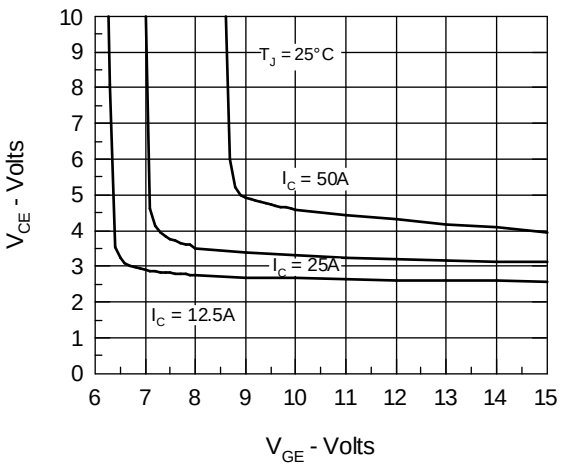

Fig. 4 Temperature Dependence of Output Saturation Voltage

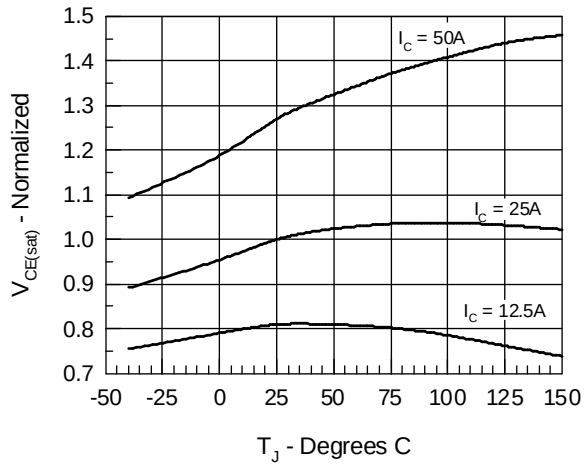

Fig. 5 Input Admittance

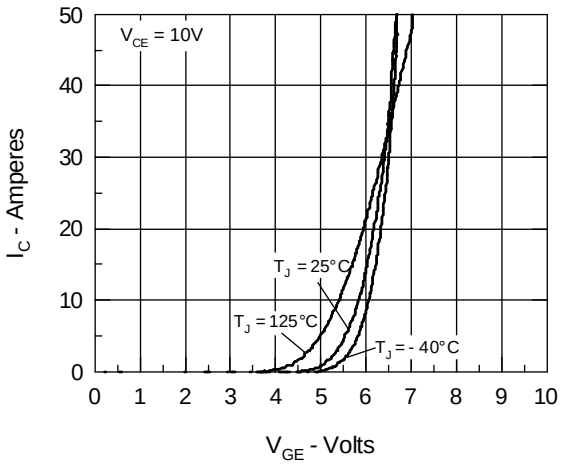

Fig. 6 Temperature Dependence of Breakdown and Threshold Voltage

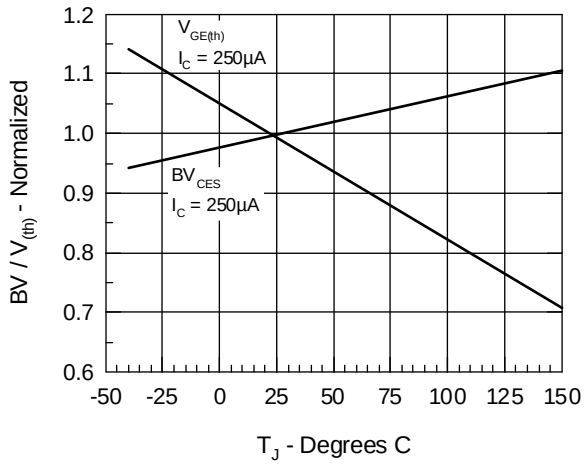

Fig.7 Gate Charge

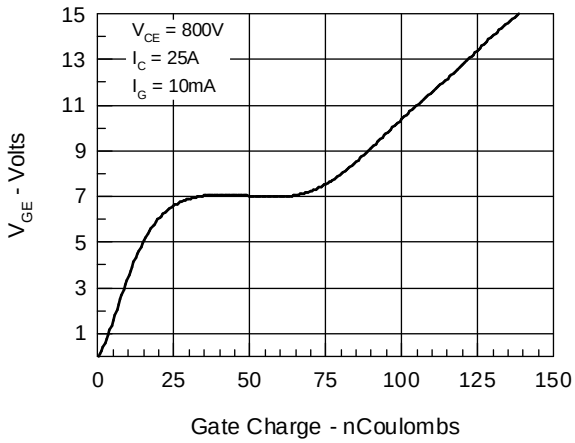

Fig.8 Turn-Off Safe Operating Area

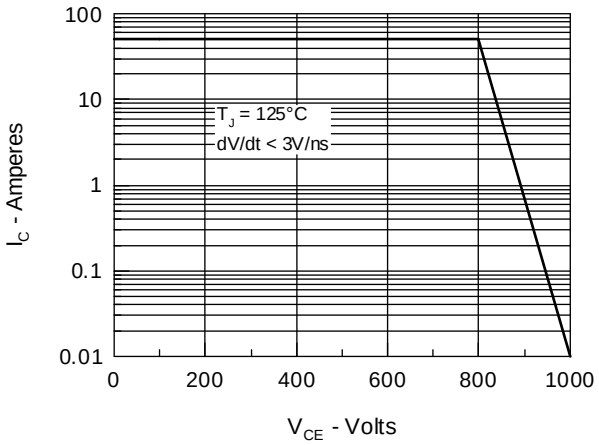

Fig.9 Capacitance Curves

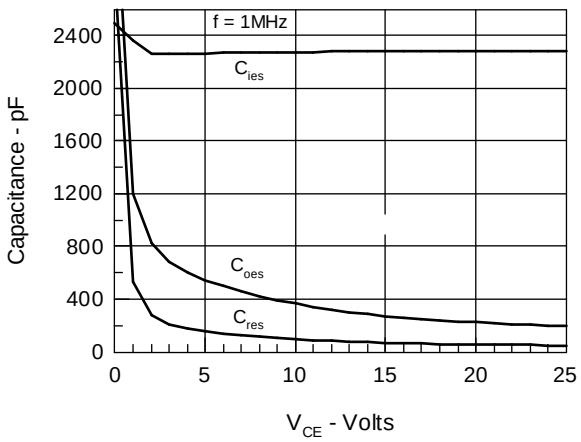

Fig.10 Transient Thermal Impedance

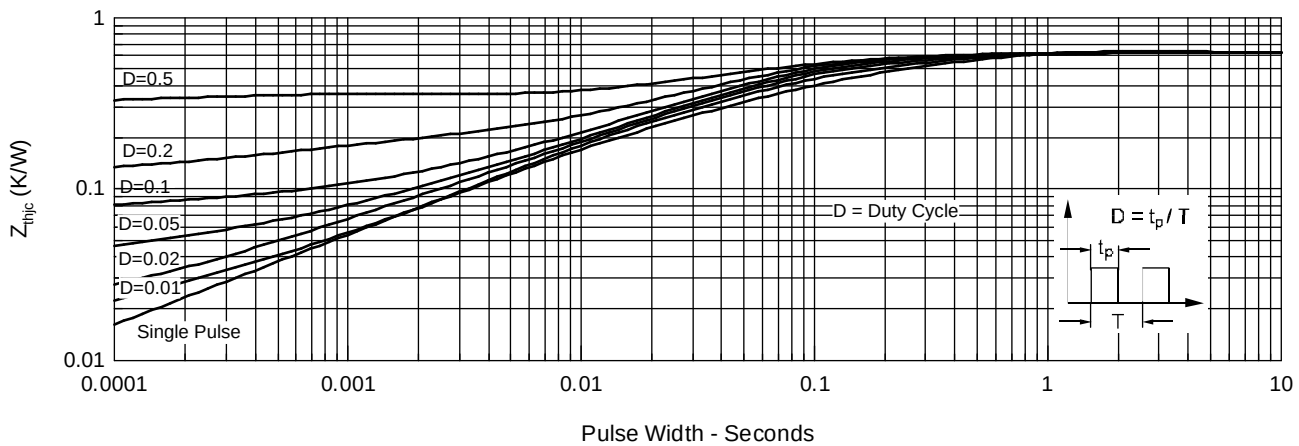

Стандарт Электрон Связь

Мы молодая и активно развивающаяся компания в области поставок электронных компонентов. Мы поставляем электронные компоненты отечественного и импортного производства напрямую от производителей и с крупнейших складов мира.

Благодаря сотрудничеству с мировыми поставщиками мы осуществляем комплексные и плановые поставки широчайшего спектра электронных компонентов.

Собственная эффективная логистика и склад в обеспечивает надежную поставку продукции в точно указанные сроки по всей России.

Мы осуществляем техническую поддержку нашим клиентам и предпродажную проверку качества продукции. На все поставляемые продукты мы предоставляем гарантию .

Осуществляем поставки продукции под контролем ВП МО РФ на предприятия военно-промышленного комплекса России , а также работаем в рамках 275 ФЗ с открытием отдельных счетов в уполномоченном банке. Система менеджмента качества компании соответствует требованиям ГОСТ ISO 9001.

Минимальные сроки поставки, гибкие цены, неограниченный ассортимент и индивидуальный подход к клиентам являются основой для выстраивания долгосрочного и эффективного сотрудничества с предприятиями радиоэлектронной промышленности, предприятиями ВПК и научно-исследовательскими институтами России.

С нами вы становитесь еще успешнее!

Наши контакты:

Телефон: +7 812 627 14 35

Электронная почта: sales@st-electron.ru

Адрес: 198099, Санкт-Петербург, Промышленная ул, дом № 19, литера Н, помещение 100-Н Офис 331